周瑜, 贾静, 王璐, 等. 基于 miR-146a/Sirt6 信号介导的自噬探讨右美托咪定抗肠缺血再灌注的作用 [J]. 中国比较医学杂志, 2022, 32(10): 40-48.

Zhou Y, Jia J, Wang L, et al. Effect of dexmedetomidine on intestinal ischemia-reperfusion injury based on miR-146a/Sirt6 signaling-mediated autophagy [J]. Chin J Comp Med, 2022, 32(10): 40–48.

doi: 10. 3969/j.issn.1671-7856. 2022. 10. 006

# 基于 miR-146a/Sirt6 信号介导的自噬探讨右美托咪定 抗肠缺血再灌注的作用

周瑜\*,贾静,王璐,周敏

(西南医科大学附属医院麻醉科,四川 泸州 646000)

【摘要】目的 探讨 miR-146a/Sirt6 信号介导的自噬在右美托咪定(DEX)抗肠缺血再灌注(L/R)损伤中的作用。方法 将 SD 大鼠随机分配到 3 组,包括假手术组(Sham)、L/R 组和 DEX 组,每组 8 只大鼠。除 Sham 组外,其余组建立肠道 L/R 模型。DEX 组大鼠在缺血前 30 min 通过腹腔注射 25 μg/kg DEX 进行药物治疗。体内进行肠道组织病理学检查和评分。在体外实验中,大鼠小肠隐窝上皮细胞(IEC-6 细胞)在氧-葡萄糖剥夺/复氧(OGD/R)处理之前与 DEX 一起孵育。采用 MTT 法分析 IEC-6 细胞活力。分别采用 TUNEL 法和实时定量 PCR 检测肠道、IEC-6 细胞中的凋亡情况和 miR-146a 水平。采用蛋白质印迹法和免疫荧光检测肠道、IEC-6 细胞中 Sirt6、LC3 水平。结果 组织病理学分析表明 DEX 处理对 L/R 诱导的肠上皮损伤具有保护作用,并以剂量依赖性方式恢复 OGD/R 暴露后细胞增殖。与 L/R 组相比,DEX 组大鼠肠道组织中细胞凋亡显著减少(P<0.01),miR-146a、Sirt6 和 LC3 Ⅱ表达水平显著增加(P<0.05)。与体内结果一致,体外研究发现 DEX 显著减轻 OGD/R 诱导的 IEC-6 细胞凋亡(P<0.01),同时显著增加了 IEC-6 细胞中 miR-146a、Sirt6 和 LC3 Ⅱ表达(P<0.01)。此外,在 IEC-6 细胞中进行的 miR-146a 抑制剂实验,并发现 miR-146a 抑制剂 削弱 DEX 诱导的改善作用,还通过下调 Sirt6 表达抑制自噬激活。结论 DEX 通过调节 miR-146a/Sirt6 信号介导的自噬显示出对 L/R 损伤具有保护作用。

【关键词】 miR-146a;Sirt6;自噬;大鼠;右美托咪定;肠缺血再灌注

【中图分类号】R-33 【文献标识码】A 【文章编号】1671-7856 (2022) 10-0040-09

# Effect of dexmedetomidine on intestinal ischemia-reperfusion injury based on miR-146a/Sirt6 signaling-mediated autophagy

ZHOU  $Yu^*$ , JIA Jing, WANG Lu, ZHOU Min

(Department of Anesthesiology, Affiliated Hospital of Southwest Medical University, Luzhou 646000, China)

[ Abstract ] Objective To investigate the role of miR-146a/Sirt6 signaling-mediated autophagy in dexmedetomidine (DEX) treatment of intestinal ischemia-reperfusion (L/R) injury. Methods SD rats were randomly assigned to Sham, L/R, and DEX groups with eight rats in each group. Except for the Sham group, the other groups underwent intestinal L/R modeling. Rats in the DEX group were treated by an intraperitoneal injection of 25 μg/kg DEX at 30 min before ischemia. In vivo, intestinal histopathological examination and scoring were performed. In vitro experiments, the rat small intestinal crypt epithelial cell line IEC-6 was treated with DEX before deprivation/reoxygenation (OGD/R)

treatment. IEC-6 cell viability was analyzed by MTT assays. Apoptosis and miR-146a expression in intestines and IEC-6 cells were detected by TUNEL and quantitative real-time PCR, respectively. Sirt6 and LC3 expression in intestines and IEC-6 cells was detected by Western blot and immunofluorescence. **Results** Histopathological analysis indicated that DEX treatment protected against L/R-induced intestinal epithelial damage and restored cell proliferation after OGD/R exposure in a dose-dependent manner. Compared with the L/R group, apoptosis in intestinal tissue of the DEX group was decreased significantly (P<0.01), and of miR-146a, Sirt6 and LC3  $\mathbb{I}$  expression was increased significantly (P<0.05). Consistent with the *in vivo* result, DEX significantly attenuated OGD/R-induced apoptosis of IEC-6 cells (P<0.01) and significantly increased the expression of miR-146a, Sirt6 and LC3  $\mathbb{I}$  in IEC-6 cells *in vitro* (P<0.01). Furthermore, miR-146a inhibitor treatment of IEC-6 cells supported that miR-146a inhibition attenuated DEX-induced improvement and inhibited autophagy activation by downregulating Sirt6 expression. **Conclusions** DEX has a protective effect against L/R injury by regulating miR-146a/Sirt6-mediated autophagy.

[Keywords] miR-146a; Sirt6; autophagy; rat; dexmedetomidine; intestinal ischemia-reperfusion

缺血再灌注(ischemia reperfusion, I/R) 损伤是 与高发病率和死亡率相关的常见病理过程,常继发 于多种严重疾病[1]。I/R 损伤的发病机制是多因素 的,包括过度的炎性细胞因子释放、氧化应激和细 胞凋亡[2-3]。肠道 L/R 可能导致肠道屏障功能受 损,肠道通透性增加和肠道菌群易位,导致严重的 局部和全身炎症和多器官功能障碍综合征[4]。右 美托咪定(dexmedetomidine, DEX)是一种具有镇静 和镇痛特性的 α2-肾上腺素受体激动剂。最近, DEX 已被鉴定为对多个器官的 I/R 损伤具有保护 潜力[5-6]。研究发现,DEX 可以保持肠道结构完整 性并赋予肠道保护免受 L/R 损伤[7]。然而,关于其 潜在的机制仍然很大程度上未知。microRNA (miRNA)作为一种小的非编码 RNA,通过抑制靶 mRNA 的翻译或稳定来调节转录后翻译<sup>[8]</sup>。最近, 一项研究报道 miR-146a 通过与 IRAK1 的 3'UTR 结 合,可以抑制炎症细胞浸润,从而保护肾组织免受 I/R 损伤<sup>[9]</sup>。在肠道 I/R 损伤方面, miR-146a 可通 过调节自噬抑制肠上皮细胞凋亡,减轻 I/R 过程中 的肠道损伤[10]。值得注意的是,最近两项研究报道 了 DEX 通过靶向 miR-146a 参与肺部和心脏保 护[11-12]。因此我们假设在肠道中,miR-146a 也可能 在 DEX 对 I/R 损伤的保护功能中发挥作用,并旨在 通过体内和体外研究评估它们之间的关系。

#### 1 材料和方法

#### 1.1 实验材料

#### 1.1.1 实验动物

24 只 SPF 级雄性 SD 大鼠(体重 200~220 g)购自北京华阜康生物科技股份有限公司[SCXK(京)2019-0004]。大鼠喂养于西南医科大学实验动物中心[SYXK(川)2018-0003],实验前 2 周使大鼠适应

实验室条件((23±2)℃、12 h/12 h 光照/黑暗、(50±5)%湿度、随意获取食物和水)。每笼饲养一只大鼠,实验前禁食 12 h。动物实验经西南医科大学附属医院动物实验伦理委员会审核批准(XNYKLY-2021-016),并严格遵循实验动物使用的 3R 原则。

#### 1.1.2 细胞

IEC-6 细胞(大鼠小肠隐窝上皮细胞)获自上海生命科学研究院,接种在含有 5% 胎牛血清(fetal bovine serum,FBS)和 1%非必需氨基的 Dulbecco's Modified Eagle's Medium(DMEM,美国 Gibco 公司)中培养。每 2~3 d 更换 1 次培养基,培养物保持在37℃含有 5% CO,的饱和湿度环境中。

#### 1.2 主要试剂与仪器

Hanks 平衡盐溶液购自美国 Gibco 公司; MTT 试剂、Sirt6、HRP 偶联的二抗购自美国 Abcam 公司; TUNEL 染色检测试剂盒购自德国 Roche 公司; 兔抗 LC3 单克隆抗体购自武汉 Proteintech 公司; TRIzol、lipofectamine 试剂购自美国 Invitrogen 公司; TransStart Top Green qPCR SuperMix购自北京全式金生物技术有限公司; SYBR™ Select Master Mix购自美国 Thermo 公司; PVDF 膜购自美国 Millipore 公司; β-actin购自美国 CST 公司; miR-146a 抑制剂 Opti-MEM购自美国 Ambion公司。

DM4000B 光学显微镜购自德国 Leica 公司,荧光显微镜购自日本 Olympus 公司;RS232C 核酸测定仪购自德国 Eppendorf 公司;7500 快速实时荧光定量 PCR 系统购自美国 Applied Biosystems 公司;ChemiDoc XRS 购自美国 Bio-Rad 公司。

#### 1.3 实验方法

1.3.1 细胞氧-葡萄糖剥夺/复氧(oxygen-glucose deprivation/reoxygenation,OGD/R)模型和药物治疗

将 IEC-6 细胞(每毫升 5×10<sup>3</sup> 个)接种在 96 孔

板中,当 80% 汇合时,细胞加入 DEX (0.5、1、2  $\mu$ mol/L)处理 1 h。之后,将细胞培养基更换为不含葡萄糖的 Hanks 平衡盐溶液,并在 37℃的加湿培养箱 (1%  $O_2$ 、94%  $N_2$  和 5%  $CO_2$ )中孵育 4 h 模拟缺氧条件。4 h 后,将培养基换回标准 DMEM 培养基并在常氧环境下再维持 2 h 来模拟复氧期 [13]。在没有药物处理的标准条件下培养的细胞用作对照。

为了考察 miR-146a 抑制对 DEX 保护作用的影响,将细胞实验分为: Con 组、OGD/R 组、OGD/R+DEX 组、OGD/R+miR-146a 抑制剂组和 OGD/R+DEX+miR-146a 抑制剂组。除 Con 组外,其他组建立 OGD/R 模型。OGD/R+miR-146a 抑制剂组和 OGD/R+DEX+miR-146a 抑制剂组在建立 OGD/R 模型前,加入 miR-146a 抑制剂处理 24 h。

#### 1.3.2 细胞活力测定

使用 3-(4,5-二甲基-2-噻唑)-2,5-二苯基溴 化四氮唑噻唑蓝 (3-(4,5-dimethylthiazol-2-yl)-2,5-diphenyltetrazolium bromide, MTT) 测定法评估细胞活力。在不同的时间点将 MTT 试剂添加到每个孔中。在 37°C下用 MTT 溶剂处理细胞 3 h, 并在 OD 590 nm 处测量吸光度。

#### 1.3.3 动物分组治疗

动物被随机分配到 3 组,包括假手术组 (Sham)、L/R 组和 DEX 组,每组 8 只大鼠。L/R 组和 DEX 组大鼠参照文献方法<sup>[14]</sup>建立大鼠肠道 L/R 模型,具体操作为大鼠用异氟醚吸入麻醉。中线剖腹探查后,夹住肠系膜上动脉并在 1 h 后再灌注。DEX 组大鼠在缺血前 30 min 以腹腔注射 25 μg/kg DEX 药物治疗<sup>[14]</sup>,和 L/R 组注射 0.9%生理盐水治疗。Sham 组接受相同的麻醉和中线剖腹手术,但不夹住肠系膜上动脉。再灌注后 6 h 处死所有动物,取出肠组织进行生化分析。

#### 1.3.4 组织病理学检查

大鼠肠组织用 4%多聚甲醛固定,石蜡切片用 苏木精-伊红(HE)溶液染色。最后,通过 DM4000B 光学显微镜获得染色图像。根据 Chiu's 评分<sup>[14]</sup>评估不同组的相对肠损伤程度。

1.3.5 TdT 介导的 dUTP 缺口末端标记(TdT-mediated dUTP Nick-End Labeling, TUNEL)分析

采用 TUNEL 染色检测试剂盒进行 TUNEL 分析。收集对数期的 IEC-6 细胞并以每毫升 1×10<sup>5</sup> 个细胞的密度接种在 24 孔板中。将浓度为 2 μmol/L

的 DEX 加入细胞中预处理 12 h。OGD/R 损伤后,用 PBS 清洗细胞,在 12 孔板中加入 10%甲醛固定 20 min。然后用 PBS 冲洗 3 次,用 0.5% Triton-100 渗透细胞 10 min。此外,为了检测体内细胞凋亡,石蜡组织切片用二甲苯和不同梯度的乙醇脱蜡至水合。PBS 冲洗 3 次后,将细胞或组织切片加入100 μL(10 μL TdT + 95 μL 荧光素标记的 dUTP 溶液) TUNEL 混合液中,在 37℃ 湿暗箱中孵育 1 h。阴性对照(Con)组加入 100 μL 荧光素标记的 dUTP 溶液。最后,使用荧光显微镜以 200 倍放大倍率捕获图像。

#### 1.3.6 免疫荧光测定

将肠组织切片水合并在柠檬酸盐缓冲液中孵育,用于脱蜡后的抗原修复。然后将样品在室温下用 3% BSA 非特异性封闭 2 h,在 4℃湿暗箱中用兔抗 LC3 单克隆抗体(稀释比 1:100)孵育过夜。用 PBS 清洗 3 次后,将切片与 Alexa 荧光素标记的二抗孵育 1 h,然后在 37℃下用 DAPI 溶液(5 μg/mL)染色 10 min。最后,通过荧光显微镜以 200 倍放大率获得免疫荧光图像。对于细胞分析,将 IEC-6 细胞(每毫升 1×10<sup>5</sup> 个细胞)接种在 24 孔板中,然后用 2 μmol/L 的 DEX 预处理 12 h。接下来,细胞用 4%多聚甲醛固定 20 min, OGD/R 损伤后用 0.5% Triton-100 冲洗 10 min。最后,将细胞与兔抗 LC3 一起孵育,其余步骤与大鼠样品相同。

#### 1.3.7 定量实时 PCR 检测

使用 TRIzol 试剂从 IEC-6 细胞和大鼠肠组织中分离总 RNA,并使用 RS232C 核酸测定仪测定总 RNA 的浓度。然后使用 TransStart Top Green qPCR SuperMix 将总共 1000 ng RNA 被逆转录为 cDNA,并使用 SYBR™ Select Master Mix 在 7500 型实时荧光定量 PCR 系统上进行实时定量分析。本研究中基因的引物序列如下: U6:5'-UGAGAACUGAAUUCC AUGGGUU-3'; miR-146a-5p: 5'-UGAGAACUGAA UUCCAUGGGUU-3'。

#### 1.3.8 蛋白质印迹法

使用适当的冷裂解缓冲液从 IEC-6 细胞和肠组织中提取总蛋白,并使用 BCA 蛋白试剂盒测定蛋白浓度。然后将样品加载到 SDS-PAGE (8%~12%)上,并转移到 PVDF 膜。将膜在5%脱脂牛奶中封闭1h,与靶向β-actin(1:2000),Sirt6(1:1200 稀释)和 LC3(1:1000 稀释)的一抗在4℃下孵育过夜,后与 HRP 偶联的二抗(1:5000)在室温下孵育1h。

通过增强化学发光法和 ChemiDoc XRS 获取蛋白质条带图像。使用 Image J 软件计算条带强度,并将其归一化为 GAPDH 的条带强度。

#### 1.3.9 体外抑制剂转染 miR-146a

IEC-6 细胞每毫升 5×10³ 个细胞接种在 24 孔板中。将 50 μL 含 miR-146a 抑制剂 (25 nmol/L,终浓度) Opti-MEM 与含 1 μL lipofectamine 的 50 μL Opti-MEM 混合,并转染 IEC-6 细胞 6 h。然后用原始培养基再培养 24 h,用 DEX 预处理并建立 OGD/R 模型。等浓度的抑制剂阴性对照用作实验中非序列特异性效应的对照。最后,测定细胞凋亡、miR-146a 表达水平以及与信号相关的蛋白表达水平。

#### 1.4 统计学方法

所有数据均以平均数±标准差( $\bar{x}$ ±s)表示。使用 SPSS 22.0 分析数据。使用 t 检验对两组之间的差异进行显著性评估,并使用单向方差分析 (ANOVA)对两组以上的差异进行评估,然后进行事后 Tukey 或 Dunnett 多重比较检验。P<0.05 认为差异具有统计学意义。

#### 2 结果

#### 2.1 DEX 在体内外对 I/R 和 OGD/R 损伤的保护 作用

HE 染色显示, 假手术组大鼠的肠粘膜上皮细胞完好无损, 杯状细胞清晰可见。与假手术组相比, L/R 组大鼠肠黏膜上皮出现明显的肠道形态改变、大量炎性细胞浸润、固有层消化崩解、出血、溃疡形成。DEX 组的肠道形态学改变显著改善, 其特

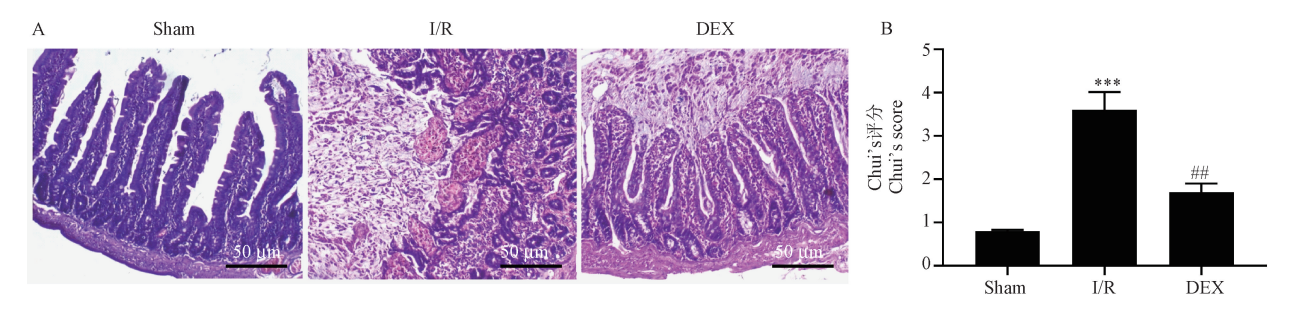
征是肠道组织学损伤评分(Chiu's score)降低。组织病理学分析表明 DEX 处理对 L/R 诱导的肠上皮损伤具有保护作用(图 1)。为了模拟肠 L/R,对 IEC-6细胞进行 4 h 的氧-葡萄糖剥夺,然后进行复氧(OGD/R)。与对照组相比,在 OGD/R 暴露后观察到细胞活力大大降低。相反,DEX 治疗以剂量依赖性方式恢复细胞增殖并促进细胞存活。此外,由于 DEX 在 2 μmol/L 时表现出最佳保护性能,存活率约为90%(图 2),因此选择该浓度用于后续分析。

# 2.2 DEX 在体内和体外对 I/R 和 OGD/R 损伤后 细胞凋亡的抑制作用

与 Sham 组相比, I/R 组大鼠肠道细胞凋亡显著增加(P<0.001)。 DEX 组细胞凋亡显著低于 I/R 组(P<0.01)(图 3)。与体内结果一致, 体外研究发现 DEX 显著减轻 OGD/R 诱导的 IEC-6 细胞凋亡(P<0.01)(图 4)。

### 2.3 DEX 对体外和体内 miR-146a/Sirt6 信号和 LC3 水平的影响

先前研究报道了 DEX 通过靶向 miR-146a/Sirt6 信号参与肺部保护<sup>[11]</sup>,为考察 DEX 是否通过靶向 miR-146a/Sirt6 信号在对 L/R 损伤的保护功能中发 挥作用,研究考察 DEX 对体外和体内 miR-146a/Sirt6 信号的影响。与 Sham 组相比, L/R 组 miR-146a、Sirt6 在大鼠肠道组织中表达显著下调(P<0.001)。DEX 治疗显著增加了 L/R 大鼠肠道组织中 miR-146a、Sirt6 表达(P<0.01)(图 5、图 6)。与体内结果一致,体外研究发现 DEX 显著增加了 OGD/R 诱导的 IEC-6 细胞中 miR-146a 表达下调(P<0.01)(图 5)。此外,蛋白质印迹和免疫荧光测

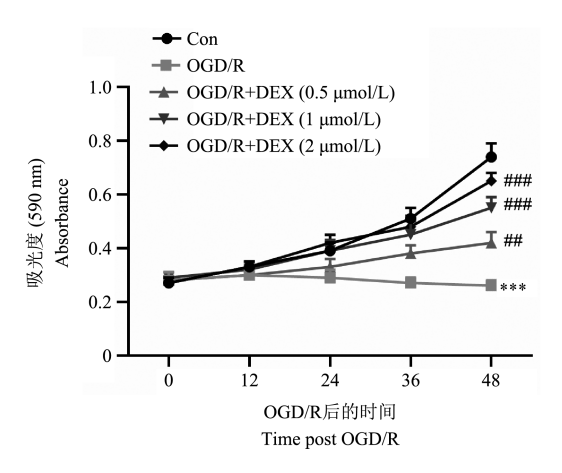


注: A: 大鼠的肠粘膜的 HE 染色结果; B: Chui's 评分。与 Sham 组相比,\*\*\*\* P<0.001; 与 L/R 组相比,\*\*\*\*P<0.01。

图 1 DEX 在体内对 L/R 损伤的保护作用(HE 染色,n=8)

Note. A, HE staining results of the rat intestinal mucosa. B, Chui's score. Compared with the Sham group, \*\*\*\* P < 0.001. Compared with the L/R group, \*\*\*\* P < 0.01.

Figure 1 Protective effect of DEX against I/R injury in vivo (HE staining)



注:与 Con 组相比,\*\*\* P<0.001;与 OGD/R 组相比,\*\*\*P<0.01、\*\*\*\*P<0.001。

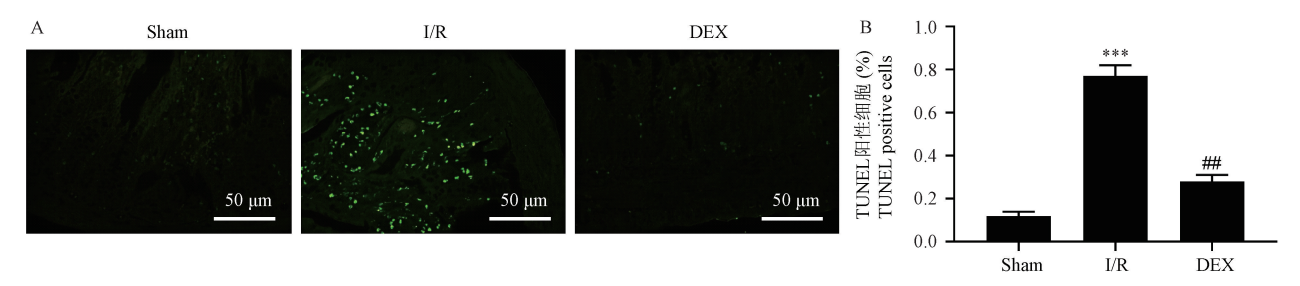
**图 2** OGD/R 损伤和 DEX 处理对肠细胞增殖的影响 Note. Compared with Con group, \*\*\*\* P<0.001. Compared with OGD/R group, \*\*\*P<0.01, \*\*\*\*P<0.001.

**Figure 2** Effects of OGD/R injury and DEX treatment on intestinal cell proliferation

定用于检测体内和体外 LC3 的表达水平。如图 6 所示,与 Sham 组或对照组相比,I/R 组和 OGD/R 组 LC3 II 的表达水平降低,DEX 增加了 LC3 II 水平。免疫荧光证实了蛋白质印迹结果,DEX 显著增加了 I/R 大鼠肠组织和 OGD/R 处理的 IEC-6 细胞中 LC3 水平(图 7)。

# 2.4 在体外阻断 miR-146a 后 DEX 对细胞凋亡的 影响

用 miR-146a 抑制剂转染 IEC-6 细胞,然后在 OGD/R 损伤前用 DEX 预处理。如图 8 所示,miR-146a 抑制剂降低了 DEX 治疗诱导的 miR-146a 上调 (P<0.01)。与 OGD/R 组相比,miR-146a 抑制剂显著增加了凋亡细胞的数量,并减少了 Sirt6、LC3 II 的表达水平。此外,与 OGD/R+DEX 组相比,OGD/R+DEX+miR-146a 抑制剂组凋亡细胞的数量显著增加(P<0.05),和 Sirt6、LC3 II 的表达水平显著减少(P<0.01)(图 9~图 11)。

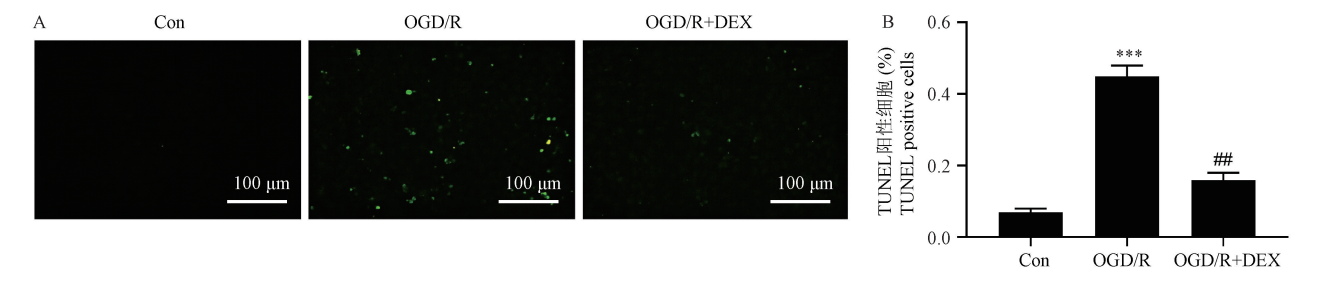


注:A:大鼠的肠粘膜的 TUNEL 染色结果;B:TUNEL 阳性细胞定量分析。与 Sham 组相比,\*\*\*\* P<0.001;与 I/R 组相比,\*\*\*P<0.01。

图 3 DEX 在体内对 L/R 损伤后细胞凋亡的抑制作用(TUNEL 染色, n=8)

Note. A, TUNEL staining results of rat intestinal mucosa. B, Quantitative analysis of TUNEL positive cells. Compared with the Sham group, \*\*\*\* P < 0.001. Compared with the L/R group, \*#\*P < 0.01.

Figure 3 Inhibitory effect of DEX on apoptosis after L/R injury in vivo (TUNEL staining)

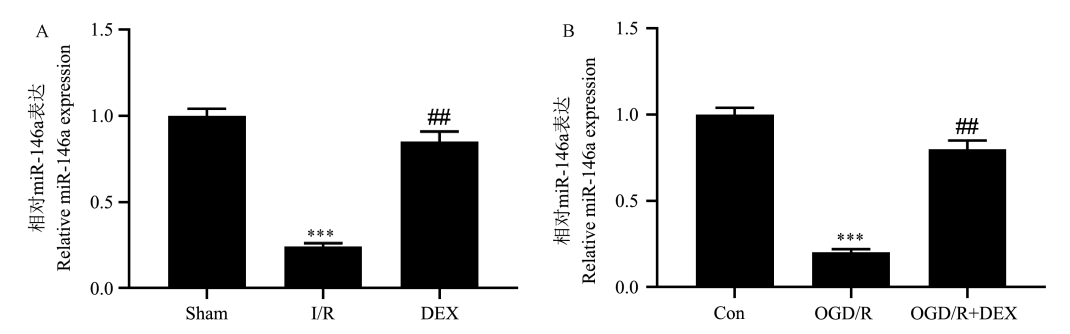


注:A:IEC-6 细胞的 TUNEL 染色结果;B:TUNEL 阳性细胞定量分析。与 Con 组相比,\*\*\* P<0.001;与 OGD/R 组相比,\*\*\*P<0.01。

图 4 DEX 在体外对 OGD/R 损伤后细胞凋亡的抑制作用(TUNEL 染色, n=3)

Note. A, TUNEL staining results of IEC-6 cells. B, Quantitative analysis of TUNEL-positive cells. Compared with Con group, \*\*\* P < 0.001. Compared with OGD/R group, \*\*\* P < 0.01.

Figure 4 TUNEL staining analysis of the effect of DEX on OGD/R injury-induced apoptosis of intestinal epithelial cells (TUNEL staining)

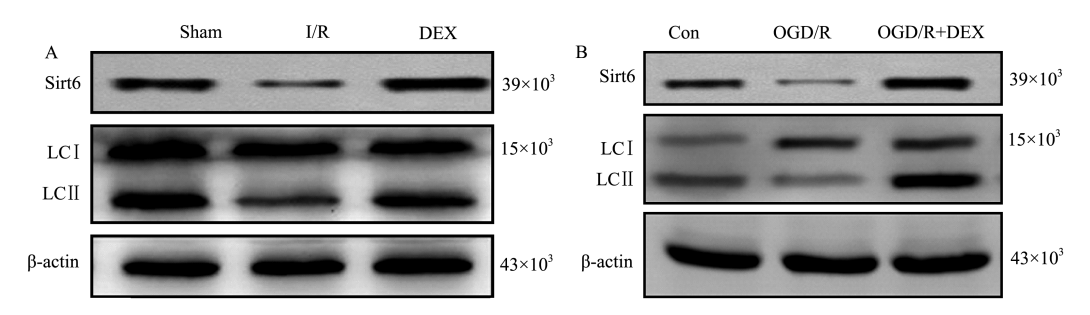


注:A:DEX 对 I/R 损伤大鼠肠组织中 miR-146a 表达水平影响;B:OGD/R 损伤诱导的肠上皮细胞中 miR-146a 表达水平影响。与 Sham 组或 Con 组相比,\*\*\* P<0.001;与 I/R 组或 OGD/R 组相比,\*\*\* P<0.01。

#### 图 5 DEX 对体外和体内 miR-146a 水平的影响

Note. A, Effect of DEX on the expression level of miR-146a in intestinal tissue of rats with I/R injury. B, Effect of miR-146a expression level in OGD/R injury-induced intestinal epithelial cells. Compared with Sham group or Con group, \*\*\* P < 0.001. Compared with I/R group or OGD/R group, \*#P < 0.01.

Figure 5 Effects of DEX on miR-146a levels in vitro and in vivo

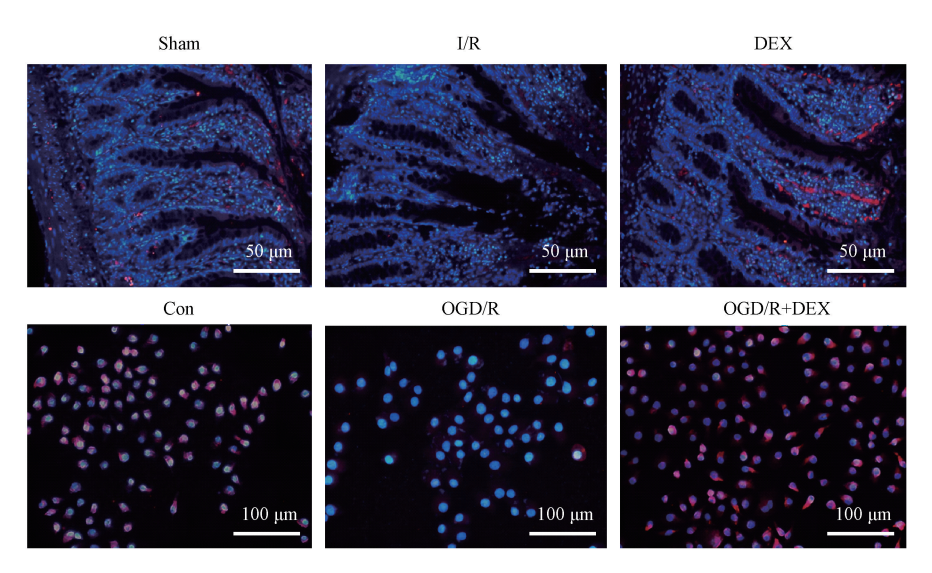


注: A: DEX 对 I/R 损伤大鼠肠组织中 Sirt6、LC3 表达水平影响; B: OGD/R 损伤诱导的肠上皮细胞中 Sirt6、LC3 表达水平影响。

#### 图 6 DEX 对体外和体内 Sirt6 和 LC3 水平的影响

Note. A, Effect of DEX on the expression levels of Sirt6 and LC3 in the intestinal tissue of I/R injured rats. B, Effect of the expression levels of Sirt6 and LC3 in the intestinal epithelial cells induced by OGD/R injury.

Figure 6 Effects of DEX on Sirt6 and LC3 levels in vitro and in vivo



注: A: DEX 对 L/R 损伤大鼠肠组织中 LC3 表达水平影响; B: OGD/R 损伤诱导的肠上皮细胞中 LC3 表达水平影响。

#### 图 7 DEX 对体外和体内 Sirt6、LC3 水平的影响(免疫荧光染色)

Note. A, Effect of DEX on the expression level of LC3 in the intestinal tissue of I/R injured rats. B, Effect of the LC3 expression level in the intestinal epithelial cells induced by OGD/R injury.

Figure 7 Effect of DEX on Sirt6 and LC3 levels in vitro and in vivo (Immunofluorescence staining)

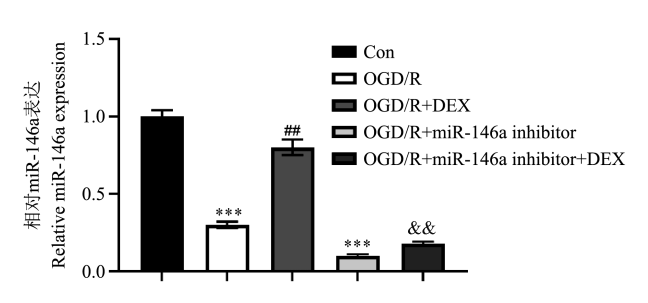
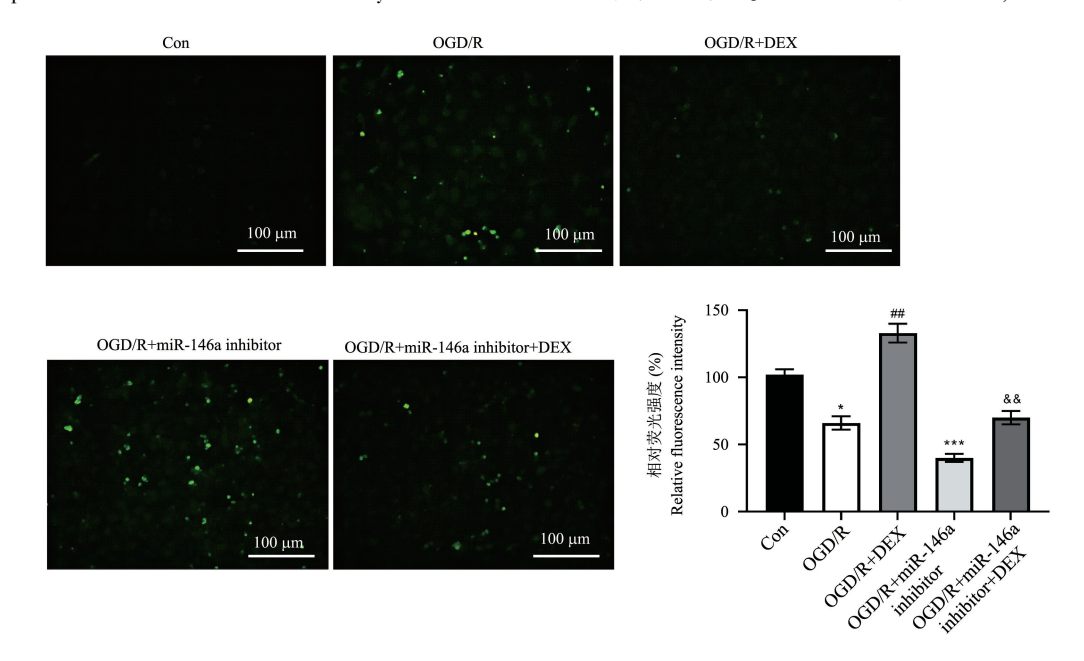


图 8 转染 miR-146a 抑制剂影响 DEX 对 IEC-6 细胞中 miR-146a 表达

**Figure 8** Transfection of miR-146a inhibitor affects the expression of miR-146a in IEC-6 cells by DEX

#### 3 讨论

肠道 L/R 损伤作为临床常见的严重疾病,威胁患者生命。肠道黏膜是肠道菌群与其内毒素之间的屏障<sup>[6]</sup>。L/R 损伤引起的粘膜破坏可出现肠道细菌转移到体循环系统,并导致组织坏死、严重代谢紊乱和全身炎症反应综合征的快速进展<sup>[6]</sup>。DEX是一种成熟的治疗药物,先前研究发现 DEX 通过抑制炎症和细胞凋亡对肝、肾、脑和胃 L/R 损伤具有保护作用<sup>[15-16]</sup>。然而,DEX 影响肠道 L/R 损伤的分子机制仍不清楚。本研究的结果表明,DEX 预处理显

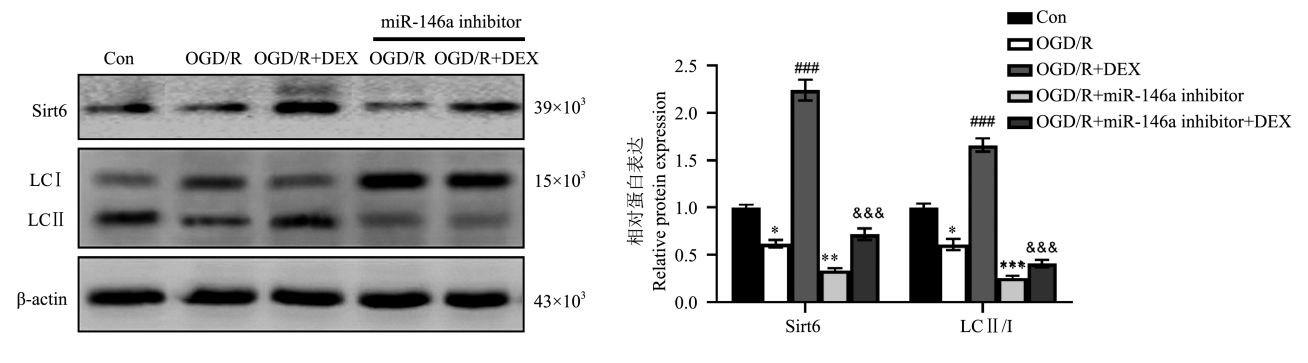


注:与 Con 组相比,\*P<0.05,\*\*\*P<0.001;与 OGD/R 组相比,\*\*P<0.01;与 OGD/R+DEX 组相比,\*\*P<0.01。

**图 9** 转染 miR-146a 抑制剂影响 DEX 对 IEC-6 细胞凋亡的保护(TUNEL 染色, n=3)

Note. Compared with Con group,  $^*P$ <0.05,  $^{***}P$ <0.001. Compared with OGD/R group,  $^{\#\#}P$ <0.01. Compared with OGD/R+DEX group,  $^{\&\&}P$ <0.01.

Figure 9 Transfection of miR-146a inhibitor affects the protection of DEX against apoptosis of IEC-6 cells (TUNEL staining)

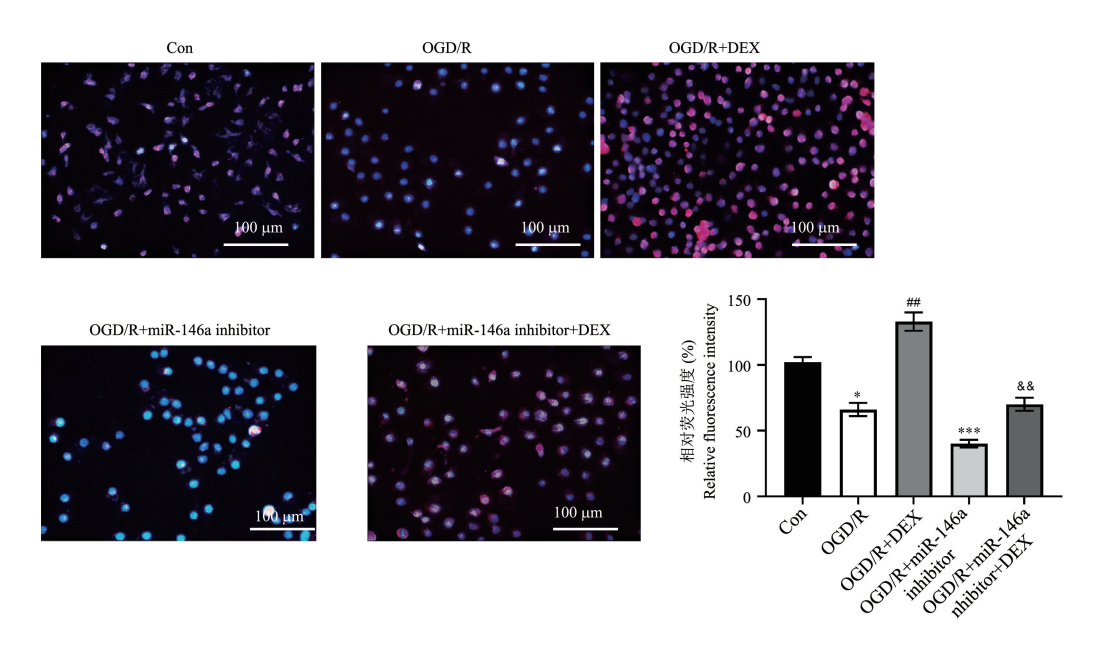


注:与 Con 组相比,\*P<0.05,\*\*P<0.01,\*\*\*P<0.001;与 OGD/R 组相比,\*##P<0.01;与 OGD/R+DEX 组相比,\*&&P<0.01。

图 10 转染 miR-146a 抑制剂影响 DEX 对 IEC-6 细胞中 Sirt6、LC3 Ⅱ蛋白表达影响

Note. Compared with Con group, \*P<0.05, \*\*P<0.01, \*\*\* P<0.001. Compared with OGD/R group, ### P<0.001. Compared with OGD/R+DEX group, \* $^{\&\&\&}P<0.01$ .

Figure 10 Transfection of miR-146a inhibitor affects the effect of DEX on the expression of Sirt6 and LC3 II proteins in IEC-6 cells



注:与 Con 组相比,\*P<0.05,\*\*\*P<0.001;与 OGD/R 组相比,\*\*P<0.01;与 OGD/R+DEX 组相比,\*\*P<0.01。

图 11 转染 miR-146a 抑制剂影响 DEX 对 IEC-6 细胞中 LC3 蛋白表达(免疫荧光染色, n=3)

Note. Compared with Con group, \*P<0.05, \*\*\* P<0.001. Compared with OGD/R group, \*P<0.01. Compared with OGD/R+DEX group, \*P<0.01.

**Figure 11** Transfection of miR-146a inhibitor affected the expression of LC3 protein in IEC-6 cells by DEX (Immunofluorescence staining)

著改善了 OGD/R 诱导的 IEC-6 细胞活力下降,并且 DEX 可改善肠道 I/R 诱导的组织病理学损伤并降低 Chiu 评分,这是肠黏膜损伤的重要指标<sup>[6]</sup>。此外,DEX 显著降低了凋亡细胞的数量,提示 DEX 对 I/R 损伤的保护作用可能与抑制细胞凋亡有关。

自噬作为细胞稳态的关键调节剂,在自噬性细 胞死亡中起重要作用,并作为信号平台促进不同细 胞死亡途径的激活和整合,选择性降解自噬相关因 子[17]。例如,增加的自噬活性有助于缓解肠道 I/R 诱导的炎症反应[2]。此外,自噬通过降解哺乳动物 细胞中的抗凋亡因子或受损分子和细胞器先于细 胞凋亡[18]。目前认为,自噬在缺血性疾病中发挥有 益还是有害作用取决于环境压力因素,包括氧气可 用性的变化、I/R 损伤的严重程度,以及不同器官对 缺血的耐受性,可能导致受影响器官中自噬通量的 变化[19]。本研究表明,DEX 预处理上调了肠道 I/R 损伤中的自噬活性,其特征是在体内和体外均增加 了 LC3 II 水平。由于自噬是一个高度动态和多步骤 的过程,自噬标记蛋白 LC3 水平的增加可能是自噬 活性增加或自噬体-溶酶体融合受阻的结果[20]。因 此,我们的研究结果表明,DEX 通过增强自噬活性 来减轻肠道 I/R 损伤。

越来越多的证据表明 miRNA 分子可以作为各

种疾病的靶向治疗剂。先前的研究发现, miR-146a 可以缓解 I/R 损伤,例如肾 I/R 和心肌 I/R 损 伤[9,21]。至于肠道 I/R 损伤,之前的研究表明 miR-146a 在 I/R 和 OGD/R 期间的表达降低,并且 在 OGD/R 期间抑制 miR-146a 表达进一步抑制自噬 并加重细胞死亡,而 miR-146a 过表达通过上调 Sirt6 增加体外自噬激活来减轻 OGD/R 损伤。提示 miR-146a/Sirt6 信号通过调节自噬作用于 OGD/R<sup>[10,22]</sup>。 此外,先前研究已经证实了 miR-146a 可以通过靶向 Sirt6 来调节炎症、氧化应激、纤维化等病理过程[23]。 本研究发现, DEX 在体内和体外均增加了 miR-146a/Sirt6 信号水平。Sirt6 介导的自噬在控制凋亡 信号传导中起关键作用。为了进一步研究 DEX 对 miR-146a/Sirt6 信号的影响,我们在体外进行了 miR-146a 抑制剂测试,并发现 miR-146a 抑制剂削 弱 DEX 诱导的改善作用,还通过下调 Sirt6 表达抑 制自噬激活。这些发现表明, DEX 通过激活 OGD/ R 受损的自噬通量来减轻 OGD/R 损伤。

此外,DEX 对 I/R 损伤的保护作用很可能还涉及除 miR-146a/Sirt6 级联之外的许多细胞功能。据报道,DEX 上调 HIF-1α 以抑制 I/R 诱导的神经元自噬<sup>[24]</sup>。ERK 和 Akt 信号通路参与 DEX 介导的肾 I/R 损伤中氧化应激和炎症的减弱<sup>[15]</sup>。此外,也有

报道称 DEX 通过 PPARy/STAT3 信号通路调节巨 噬细胞 M2 的活化来减轻肝的 I/R 损伤<sup>[6]</sup>。这与我们模型中观察到的细胞凋亡减少一致,表明在 I/R 损伤和 DEX 治疗期间存在复杂的细胞间通讯。总体而言,所有这些发现都确定了 DEX 赋予保护功能的复杂性,而对潜在机制的更严格探索不仅需要扩大我们对 I/R 的了解,而且还需要提供针对 I/R 损伤的新预防策略。

#### 参考文献:

- [1] 陈榕,李维,曾滋,等.自噬在缺血后处理减轻小鼠肠缺血 再灌注损伤中的作用[J].中华麻醉学杂志,2020,40(4):
- [2] Li B, Yao X, Luo Y, et al. Inhibition of autophagy attenuated intestinal injury after intestinal L/R via mTOR signaling [J]. J Surg Res, 2019, 243: 363-370.
- [ 3 ] Barzegar M, Kaur G, Gavins FNE, et al. Potential therapeutic roles of stem cells in ischemia-reperfusion injury [ J]. Stem Cell Res, 2019, 37: 101421.
- [4] Nadatani Y, Watanabe T, Shimada S, et al. Microbiome and intestinal ischemia/reperfusion injury [J]. J Clin Biochem Nutr, 2018, 63(1): 26-32.
- [5] Sun Z, Zhao T, Lv S, et al. Dexmedetomidine attenuates spinal cord ischemia-reperfusion injury through both anti-inflammation and anti-apoptosis mechanisms in rabbits [J]. J Transl Med, 2018, 16(1): 209.
- [6] He L, Hao S, Wang Y, et al. Dexmedetomidine preconditioning attenuates ischemia/reperfusion injury in isolated rat hearts with endothelial dysfunction [J]. Biomed Pharmacother, 2019, 114: 108837
- [7] 李斌, 唐隽娇, 何祥虎, 等. 右美托咪定通过激活 PI3K/Akt 通路对大鼠肠缺血再灌注损伤的保护作用 [J]. 武汉大学学报(医学版), 2020, 41(1); 15-19.
- [8] 唐剑, 刘艳秋, 高鸿, 等. 低温缺血再灌注心律失常大鼠心肌 miRNA 表达的变化及靶基因预测 [J]. 中华麻醉学杂志, 2020, 40(7): 885-888.
- [9] Li X, Liao J, Su X, et al. Human urine-derived stem cells protect against renal ischemia/reperfusion injury in a rat model via exosomal miR-146a-5p which targets IRAK1 [J]. Theranostics, 2020, 10(21): 9561-9578.
- [10] Liu ZZ, Leng WT, Zhang JM, et al. miR-146a-5p/TXNIP axis attenuates intestinal ischemia-reperfusion injury by inhibiting autophagy via the PRKAA/mTOR signaling pathway [J]. Biochem Pharmacol, 2021,197:114839.
- [11] Li N, Li S, Wu Y, et al. Dexmedetomidine targets miR-146a and participates in the progress of chronic obstructive pulmonary disease *in vivo* and *in vitro* [J]. Genes Genomics, 2021, 43

- (12): 1371-1379.
- [12] He L, Wang Z, Zhou R, et al. Dexmedetomidine exerts cardioprotective effect through miR-146a-3p targeting IRAK1 and TRAF6 via inhibition of the NF-κB pathway [J]. Biomed Pharmacother, 2021, 133; 110993.
- [13] Li LX, Yin LH, Gao M, et al. MiR-23a-5p exacerbates intestinal ischemia-reperfusion injury by promoting oxidative stress via targeting PPAR alpha [J]. Biomed Pharmacother, 2020, 180: 114194.
- [14] Liu XM, Chen QH, Hu Q, et al. Dexmedetomidine protects intestinal ischemia-reperfusion injury via inhibiting p38 MAPK cascades [J]. Exp Mol Pathol, 2020, 115; 104444.
- [15] Li J, Chen Q, He X, et al. Dexmedetomidine attenuates lung apoptosis induced by renal ischemia-reperfusion injury through α<sub>2</sub> AR/PI3K/Akt pathway [J]. J Transl Med, 2018, 16(1): 78.
- [16] Li P, Zhang Y, Liu H. The role of Wnt/β-catenin pathway in the protection process by dexmedetomidine against cerebral ischemia/reperfusion injury in rats [J]. Life Sci, 2019, 236; 116921.
- [17] 黄基峰, 张怡, 晏琛. 线粒体自噬在肿瘤干细胞中作用的研究进展[J]. 中国肿瘤临床, 2020, 47(5): 255-259.
- [18] Yang Y, Dong F, Liu X, et al. Crosstalk of oxidative damage, apoptosis, and autophagy under endoplasmic reticulum (ER) stress involved in thifluzamide-induced liver damage in zebrafish (Danio rerio) [J]. Environ Pollut, 2018, 243: 1904-1911.
- [19] Xu D, Chen L, Chen X, et al. The triterpenoid CDDOimidazolide ameliorates mouse liver ischemia-reperfusion injury through activating the Nrf2/HO-1 pathway enhanced autophagy [J]. Cell Death Dis, 2017, 8(8): e2983.
- [20] Zhao H, Chen H, Xiaoyin M, et al. Autophagy activation improves lung injury and inflammation in sepsis [J]. Inflammation, 2019, 42(2): 426-439.
- [21] Shu L, Zhang W, Huang G, et al. Troxerutin attenuates myocardial cell apoptosis following myocardial ischemiareperfusion injury through inhibition of miR-146a-5p expression [J]. J Cell Physiol, 2019, 234(6): 9274-9282.
- [22] Akbari G. Emerging roles of microRNAs in intestinal ischemia/ reperfusion-induced injury: a review [J]. J Physiol Biochem, 2020, 76(4): 525-537.
- [23] Xiao X, Xu M, Yu H, et al. Mesenchymal stem cell-derived small extracellular vesicles mitigate oxidative stress-induced senescence in endothelial cells via regulation of miR-146a/Src [J]. Signal Transduct Target Ther, 2021, 6(1): 354.
- [24] Gao Y, Yin H, Zhang Y, et al. Dexmedetomidine protects hippocampal neurons against hypoxia/reoxygenation-induced apoptosis through activation HIF-1α/p53 signaling [J]. Life Sci, 2019, 232; 116611.

「收稿日期]2022-06-22